

探索領域を適応設定する3階層サブサンプリング 動きベクトル検出法

小熊浩太郎 木谷光博 榎本忠儀

中央大学 大学院 理工学研究科 情報工学専攻
〒112-8551 東京都文京区春日1-13-27

あらまし 動きベクトル検出 (ME) のためのブロックマッチング (BM) 处理量を大幅に削減する「探索領域を適応設定する3階層サブサンプリング ME 法」を開発した。本アルゴリズムは、まず動きの大小に応じて探索領域サイズの大小を適応的に設定し、次に探索領域のマクロブロックを異なる間引き間隔（大から小）で階層的に繰り返して BM を行うアルゴリズムである。本アルゴリズムをテスト画像 “Football” (MP@ML, 4Mbps, 30fps) に適用し、画質、BM 处理量を検討した。その結果、全探索法の画質を維持したまま、ME 速度を全探索法、4:1 サブサンプリング法、16:1 サブサンプリング法のそれぞれの約 18 倍、約 4.5 倍、約 1.2 倍に高速化できた。

キーワード MPEG-2, 動きベクトル検出、探索領域サイズ、サブサンプリング

Fast Motion Vector Estimation Employing Adaptively Assigned Search Area Sizes Followed by Hierarchical Sub-Sampling Block Matching

Koutarou Oguma, Mitsuhiro Kitani and Tadayoshi Enomoto

Graduate School of Science and Engineering, Chuo University
1-13-27 Kasuga, Bunkyo-ku, Tokyo-to 112-8551, Japan

Abstract A “fast motion vector estimation (ME) algorithm employing adaptively assigned search area sizes followed by hierarchical sub-sampling block matching” method was developed for MPEG-2. It can improve processing speed of the full-search method by a factor of about 18, while maintaining visual quality of the full-search method (“Football”, MP@ML, 4 Mbps, 30 frame/sec, search area = 720 pixels × 480 lines).

Keyword MPEG-2, motion estimation algorithm, search area sizes, sub-sampling

1 はじめに

地上デジタル放送が始まり、HDTV (high definition television, MP@HL, 1920 画素×1080 ライン) ならびに HDTV 向け DVD が急速に普及すると予想される。これに伴い、データ量の極めて多い HDTV の符号化、特に動きベクトル検出処理 (Motion Vector Estimation : ME) の高速化技術の開発が急務である。同時に、符号化 LSI の低消費電力化が要求され、ME 演算量の削減が求

められる。代表的な ME アルゴリズムの 1 つである、全探索法 (Full Search : FS) は、高精度に動きベクトルを検出できるが、探索領域 (Search Area : SA) 内の全マクロブロック (Macro Block : M-Blk) に対して差分絶対値和 (D_s) を求めるため、ブロックマッチング数 (N_b) が極めて多く、HDTV の応用に不適当である一方、 N_b を大幅に削減する方法としてサブサンプリング (Sub-Sampling : SS) 法 [1] があるが、SA 内の M-Blk を縦方向あるいは横方向に間引いてブロックマッチン

グ (BM) を行うため、高精度に動きベクトル (Motion Vector : MV) を検出できない。以上の問題を解決するために、高速でかつ高精度な動きベクトルを検出するアルゴリズムを開発した。

本アルゴリズムを MPEG-2, MP@ML に適用した結果、画質を維持し (平均最小 D_a を FS の約 5% 増以内)、ME 速度を FS の約 18 倍に高速化できた。

以下、第 2 章でアルゴリズムについて述べ、第 3 章で画像解析結果を述べる。

2 探索領域を適応設定する 3 階層サブサンプリング ME 法

本アルゴリズムは 2 段階で構成される。画像の動き (速さ、量) は M-Blk 每に変化する。本アルゴリズムの第 1 段階ではこの特性を利用し、動きの大小に応じて、SA サイズ $[-p, p]$ の大小を適応的に設定する (小さな SA サイズで ME を実行し、検出された最小 D_a に応じて、次の ME のための SA サイズを決定する) [2]。また、隣接する M-Blk 同士は似ていることが多い。つまり、これらの D_a が互いに近い値または同じ値を持つ可能性が高い。本アルゴリズムの第 2 段階ではこれを利用し、決定された SA サイズを用いて、M-Blk を縦、横共に 4:1 で間引いた SS, 2:1 で間引いた SS, 1 画素精度の BM を階層的に 3 回繰り返して ME を行う [3]。

図 1 に本アルゴリズムの手順を示す。前フレームの平均最小 D_a をしきい値 D_{th} とする。まず、図 2 (a) に示すように、小さな SA サイズ $[-p_1, p_1]$ を参照フレームで設定し、ME を行う。この時、得られる最小の D_a を D_{min1} 、MV を MV_1 とする。 $0 \leq D_{min1} < mD_{th}$ (m は 1 以下の実数) の時、 D_{min1} を最終的な D_a 、 MV_1 を最終的な MV として ME を終了する。 $mD_{th} \leq D_{min1} < nD_{th}$

は 1 以上の実数) の時、 MV_1 を中心に SA サイズを $[-p_2, p_2]$ に設定する ($p_2 > p_1$) (図 2 (b))。 $nD_{th} \leq D_{min1}$ の時、SA サイズを $[-p_3, p_3]$ に設定する ($p_3 > p_2$) (図 2 (c))。

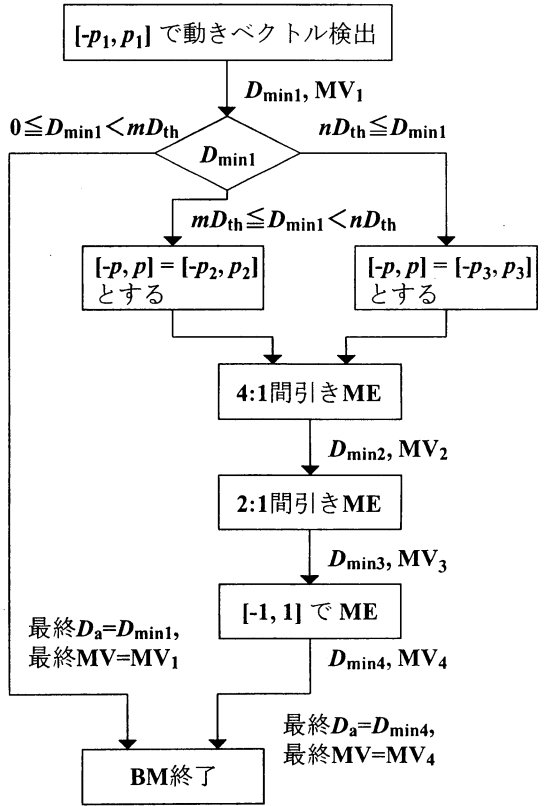


図 1. 本アルゴリズムの流れ図。

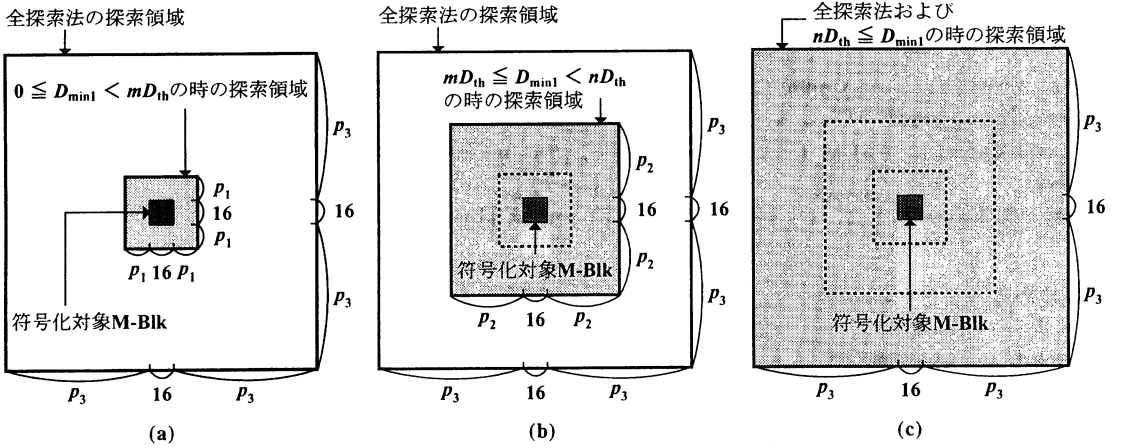


図 2. 探索領域サイズの設定。(a) 小さな探索領域サイズ $[-p_1, p_1]$ 。(b) 中ぐらいの探索領域サイズ $[-p_2, p_2]$ 。(c) 大きな探索領域サイズ $[-p_3, p_3]$ 。

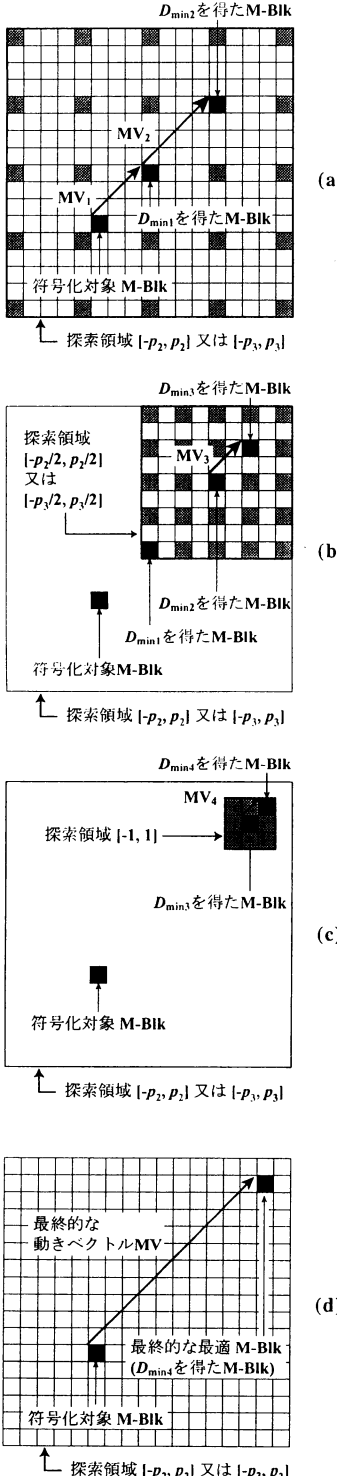


図 3. 本アルゴリズムの階層間引き BM 手順

- (a) 1 ステップ目.
- (b) 2 ステップ目.
- (c) 3 ステップ目.
- (d) 最終的な MV.

続いて、図 3 (a) に示すように、 $D_{\min 1}$, MV_1 を得た M-Blk を中心に、SA 内の M-Blk を水平方向、垂直方向共に 4:1 に間引いて ME を行う。新たに得た D_a を含め、最小 D_a を $D_{\min 2}$ とし、MV を MV_2 とする。次に、図 3 (b) に示すように、 $D_{\min 2}$, MV_2 を得た M-Blk を中心に、SA サイズを $[-p_2/q, p_2/q]$ あるいは $[-p_3/q, p_3/q]$ (q は 1 以上の実数、今回は $q = 2$ とした) とし、SA 内の M-Blk を水平方向、垂直方向共に 2:1 に間引いて ME を行う。新たに得た D_a を含め、最小 D_a を $D_{\min 3}$ とし、MV を MV_3 とする。最後に、図 3 (c) に示すように、 $D_{\min 3}$, MV_3 を得た M-Blk を中心に、SA サイズを $[-1, 1]$ とし、ME を行う。図 3 (d) に示すように、新たに得た D_a を含め、最小 D_a を $D_{\min 4}$ とし、最終的な D_a とする。符号化対象 M-Blk から $D_{\min 4}$ を得た M-Blk への MV を最終的な MV_4 とする。なお、BM は左上の M-Blk から右下の M-Blk へ向けた水平スキャン方式を用い、オーバーラップした部分や、設定した SA サイズを超えた部分の ME は行わない。

3 画像解析

3.1 解析画像と解析条件

用いるテスト画像は“Football”と呼ばれる動きの速い動画像である。フレームサイズが MP@ML (720 画素 × 480 ライン) で、フレーム数は 97 (I ピクチャ : 7 フレーム, B ピクチャ : 64 フレーム, P ピクチャ : 26 フレーム) である。以下では P ピクチャに対して MPEG-2 に準拠したソフトウェアエンコーダで処理速度と画質の解析を行う。画素データは符号無し 8 ビット/画素である。データレート R_d は 4Mbps、フレームレート R_f は 30 fps、GOP 構造は $M = 3, N = 15$ である。小さな SA サイズ $[-p_1, p_1]$ は $[-3, 3]$ 、中ぐらいの SA サイズは $[-p_2, p_2]$ 、大きな SA サイズは $[-p_3, p_3]$ 、FS の SA サイズ $[-p, p] = [-p_3, p_3]$, m は 0.25~1, n は 1~2 とする。なお、半画素精度は併用しない。

図 4 に原画像 (7 フレーム目) を、図 5、図 6 にそれぞれ原画像 (7 フレーム目) に対応した水平方向、垂直方向の動きベクトル量を示す (右向き、下向きを正とする。単位は画素数)。SA サイズ $[-p, p]$ は $[-60, 60]$ である。背景部分の各 M-Blk (灰色) の動きベクトルの大きさは 3 画素以下である。これらの M-Blk に対して、 $[-p, p] = [-3, 3]$ 程度を割り当てれば十分であることがわかる。よって、 $p_1 = 3$ とした。一方、動きベクトルの大きさが 3 よりも大きい M-Blk (白色) に対して、 $D_{\min 1}$ のサイズに応じた SA サイズ、 $[-p_2, p_2]$ 又は $[-p_3, p_3]$ を割り当てる。



図 4. “Football” の原画像 (7 フレーム目).

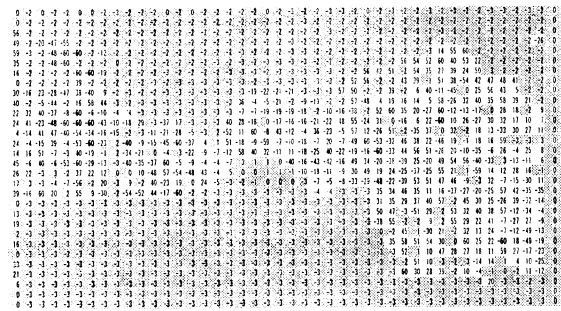


図 5. 原画像の水平方向の動きベクトル量.

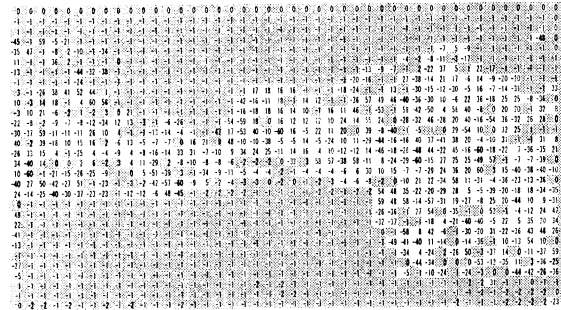


図 6. 原画像の垂直方向の動きベクトル量.

3.2 m, n の最適化

図 7 に平均 N_b (実線), 平均 ME 速度 (平均 F_s) { (平均 $F_s = \text{FS}$ の平均 N_b) / (各アルゴリズムの平均 N_b) } (破線) と FS の SA サイズ $[-p_3, p_3]$ (図 2(c) と同一) の関係を示す。図 7 に平均 N_b (実線), 平均 ME 速度 (平均 F_s) { (平均 $F_s = \text{FS}$ の平均 N_b) / (各アルゴリズムの平均 N_b) } (破線) と FS の SA サイズ $[-p_3, p_3]$ (図 2(c) と同一) の関係を示す。

係を示す。本アルゴリズム ($m = 0.5, n = 2$) の平均 N_b は、FS のそれより小さく, $p \geq 40$ で約 1/17 以下である。つまり、本アルゴリズムの平均 F_s は FS の 17 倍以上速い。また、4:1SS, 16:1SS より、それぞれ約 1/4.5, 約 1/1.2 で、平均 F_s はそれぞれ約 4.5 倍、約 1.2 倍速い。 $p = 60$ の時、本アルゴリズムの平均 N_b (= 712) は、FS の平均 N_b (= 12,766), 4:1SS の平均 N_b (= 3248), 16:1SS の平均 N_b (= 841) のそれぞれ 5.58%, 19.86%, 1.01% に減少し、本アルゴリズムの平均 F_s は FS, 4:1SS, 16:1SS のそれぞれ 17.92 倍, 4.56 倍, 1.18 倍に高速化され、SS を超えて最も速いことがわかる。

図 8 に平均 D_a , 平均ピーク S/N 比 (平均 R_{sn}) と FS の SA サイズ $[-p_3, p_3]$ (図 2(c) と同一) の関係を示す。 $p = 60$ の時、本アルゴリズム ($m = 0.5, n = 2$) の平均最小 D_a (= 2206.8) は、FS の平均最小 D_a (= 2099.9) の 5.09% 増 (劣化), 4:1SS, 16:1SS の平均最小 D_a (= 2290.7, 2580.7) の、それぞれ 4.00% 減, 17.81% 減 (向上) である。本アルゴリズムは SS よりも画質が向上している。同様に、 $p = 60$ の時、本アルゴリズム ($m = 0.5, n = 2$) の平均 R_{sn} (= 31.5548 [dB]) は、FS の平均 R_{sn} (= 31.7932 [dB]) の、0.2384 [dB] 減 (劣化), 4:1SS, 16:1SS の平均 R_{sn} (= 31.4268 [dB], 31.0160 [dB]) の、それぞれ 0.128 [dB] 増, 0.5388 [dB] 増 (向上) である。こちらも本アルゴリズムは SS より画質が向上している。

平均 N_b , 平均 D_a , 平均 R_{sn} と m, n の関係を検討した。解析結果を図 9(a), (b), (c) に示す。 m, n の増加に伴い、平均 N_b は減少している。これは、 m, n が大きい時、小さな SA サイズが割り当てられるためである。 $m = 0.25, n = 1$ の時、平均 N_b は 952 で最大となり、平均 F_s は FS の 13.4 倍である。一方、 $m = 1, n = 2$ の時、平均 N_b は 661 で最小となり、平均 F_s は FS の 19.3 倍である。

m, n がそれぞれ増加すると、平均最小 D_a は増加 (劣化) している。これは、 m, n が大きい時、小さな SA サイズが割り当てられ、 N_b が減少するためである。逆に m, n が小さくなるにつれ、大きな SA サイズが割り当てられるために、FS と同じ値に近づく。 $m = 0.5, n = 1$ の時、2186 で FS の 4.1% 増であり、 $m = 0.5, n = 2$ の時、2206 で FS の 5.1% 増である。平均 R_{sn} にも同様の傾向が見られ、 m, n のそれぞれ増加に伴い、平均 R_{sn} は減少 (劣化) している。 $m = 0.5, n = 1$ の時、31.6099 [dB] で FS の 0.1833 [dB] 減であり、 $m = 0.5, n = 2$ の時、31.5548 [dB] で FS の 0.2384 [dB] 減である。図 10(a), (b), (c) に FS, 本アルゴリズム ($m = 0.5, n = 1$), 本アルゴリズム ($m = 0.5, n = 2$) の復号画像を示す。画質の優劣は見られない。表 1 に FS, 4:1SS, 16:1SS, 本アルゴリズム ($m = 0.5, n = 2$) の解析結果をまとめると。

表1. 各種動きベクトル検出アルゴリズムの解析結果.
(Football, MP@ML, 4Mbps, 30fps, $p_1=3$, $p_2=30$, $p_3=60$).

アルゴリズム	平均 N_b (%) **	平均 F_s [倍]	平均 最小 D_a (%) **	平均 R_{sn} [dB] (dB)
FS	12766.4387 (100.00)	1.0000	2099.9078 (± 0.00)	31.7932 (± 0.0000)
従来の4:1SS	3248.3597 (25.44)	3.9301	2290.7142 (+9.09)	31.4268 (-0.3664)
従来の16:1SS	840.8399 (6.59)	15.1830	2580.7142 (+22.9)	31.0160 (-0.7772)
本アルゴリズム*	712.1309 (5.58)	17.9271	2206.7539 (+5.09)	31.5548 (-0.2384)

* : $m = 0.5$, $n = 2$. ** : 括弧内は FS との比較.

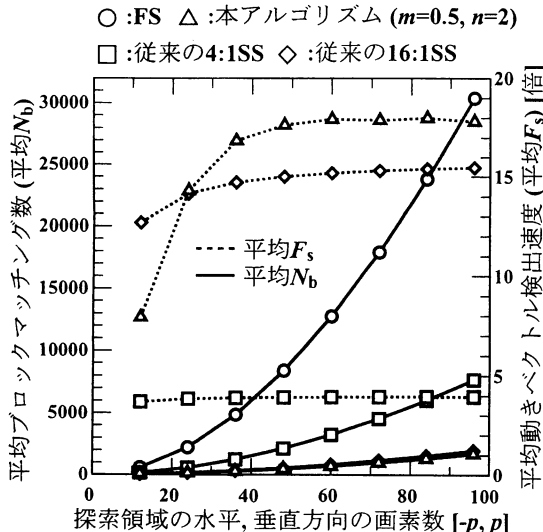


図7. 平均 N_b , 平均 F_s と探索領域[- p , p]の関係.

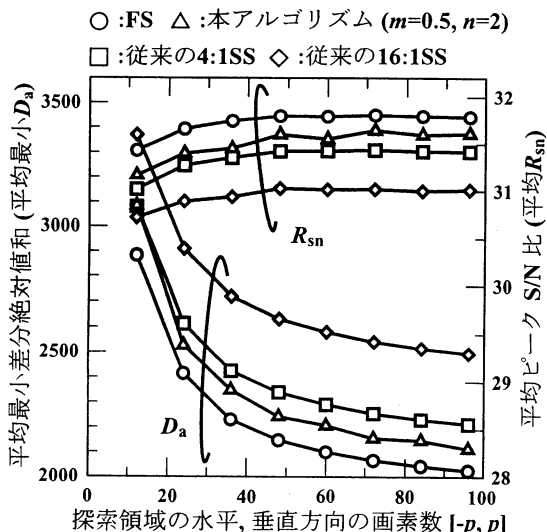


図8. 平均最小 D_a , 平均 R_{sn} と探索領域[- p , p]の関係.

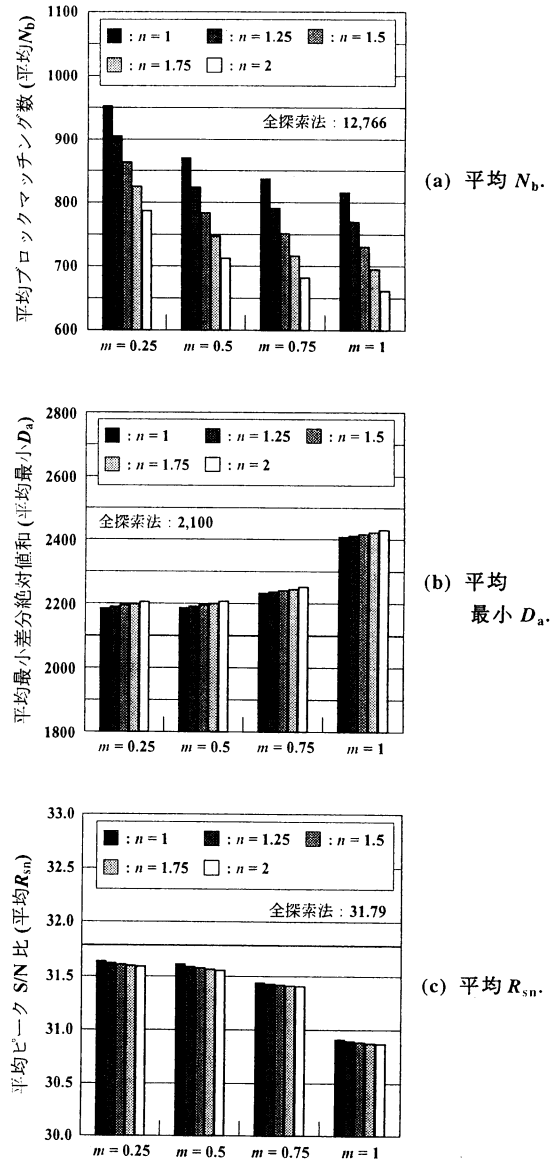


図9. 平均 N_b , 平均最小 D_a , 平均 R_{sn} と m , n の関係.

4 おわりに

動きの大小に応じて、探索領域 (SA) サイズ $[-p_1, p_1]$ の大小を適応的に設定し、参照フレーム内の SA のマクロブロック (M-Blk) を異なる間引き間隔 (大から小) で階層的に繰り返してブロックマッチング (BM) を行う動きベクトル検出法 (ME)，探索領域を適応設定する 3 階層サブサンプリング動きベクトル検出法を開発した。

テスト画像 "Football" (MP@ML, 4Mbps, 30fps, $p_1 = 3$, $p_2 = 30$, $p_3 = 60$) を用いた時、平均最小差分絶対値と (平均最小 D_a) は 2206.8 となり、全探索法 (FS) の平均 D_a ($= 2099.9$) の 5.09% の増加となった。4:1, 16:1 サブサンプリング法 (SS) の平均最小 D_a ($= 2290.7, 2580.7$) に対してはそれぞれ 4.00%, 17.81% の減少となった。平均ピーク S/N 比 (平均 R_{sn}) は 31.5548 [dB] であり、FS の平均 R_{sn} ($= 31.7932$ [dB]) の 0.2384 [dB] の減少となった。4:ISS, 16:ISS の平均 R_{sn} ($= 31.4268$ [dB], 31.0160 [dB]) に対しては、それぞれ 0.128 [dB], 0.5388 [dB] の増加となった。本アルゴリズムは画質を維持し (平均最小 D_a を FS の 5.09% 増、平均 R_{sn} を FS の 0.2384 [dB] 減)、SS よりも大幅に向上した。一方、平均動きベクトル検出速度 (平均 F_s) は FS の 17.92 倍に高速化できた。また、4:ISS, 16:ISS の平均 F_s のそれぞれ 4.56 倍、約 1.18 倍であり、SS よりも速い結果となった。

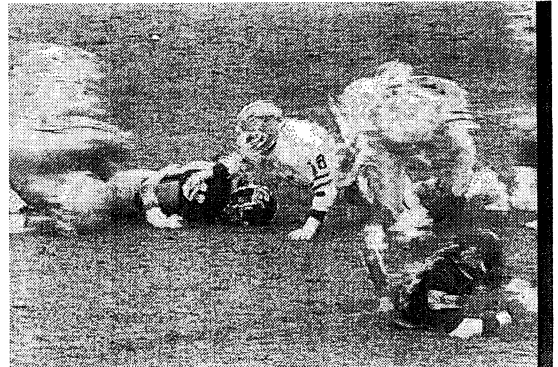
今後の課題として、SA サイズ $[-p_2, p_2]$ の最適化や、 m, n をさらに細かく取る、半画素精度を用いた解析、等を行い、 D_a の削減、さらなる N_b の減少を目指す。

謝辞

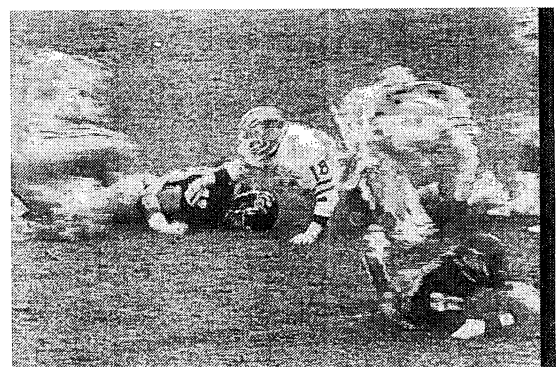
研究にあたり多くの助言を頂きました中央大学榎本研究室の関係諸氏に感謝致します。

参考文献

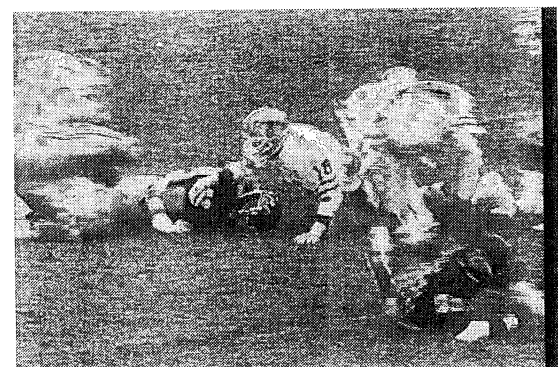
- [1] 松本、小田部、堀口、榎本、「階層探索を併用した 4 ビット 2 ステップ中断法と CMOS 差分絶対値回路」、信学技報、ICD2000-204, pp.9-14, 2001 年 3 月。
- [2] 木谷、榎本、「探索領域サイズを適応的に可変する動きベクトル検出」、信学総合大会講演論文集、情報・システム、D-11-61, 2003 年 3 月。
- [3] 小熊、榎本、「3 階層ブロックマッチング動きベクトル検出アルゴリズム」、信学総合大会講演論文集、情報・システム、D-11-39, 2004 年 3 月。



(a)



(b)



(c)

図 10. "Football" の復号画像 (4Mbps, 30fps, $p = 60$).

(a) 全探索法. (b) 本アルゴリズム ($m=0.5, n=1$).
(c) 本アルゴリズム ($m=0.5, n=2$).